

МІНІСТЕРСТВО ОСВІТИ І НАУКИ УКРАЇНИ



НАУКОВІ ПРАЦІ  
ДОНЕЦЬКОГО НАЦІОНАЛЬНОГО  
ТЕХНІЧНОГО УНІВЕРСИТЕТУ

*Серія: “Обчислювальна техніка  
та автоматизація”*

№ 1(26)'2014

Донецьк  
2014

**МІНІСТЕРСТВО ОСВІТИ І НАУКИ УКРАЇНИ**

**НАУКОВІ ПРАЦІ  
ДОНЕЦЬКОГО НАЦІОНАЛЬНОГО  
ТЕХНІЧНОГО УНІВЕРСИТЕТУ**

***Серія: “Обчислювальна техніка  
та автоматизація”***

***Всесукаїнський науковий збірник***

***Заснований у липні 1998 року***

***Виходить 2 рази на рік***

***№ 1(26)'2014***

Донецьк  
2014

УДК 681.5: 658.5: 621.3

Друкується за рішенням Вченої ради державного вищого навчального закладу «Донецький національний технічний університет» (протокол № 6 від 20.06.2014).

У збірнику опубліковано статті науковців, аспірантів, магістрів та інженерів провідних підприємств і вищих навчальних закладів України, в яких наведено результати наукових досліджень та розробок, виконаних у 2013-2014 роках згідно напрямків: автоматизація технологічних процесів, комп'ютерні інформаційні технології, інформаційно-вимірювальні системи, електронні і мікропроцесорні прилади.

Матеріали збірника призначено для викладачів, наукових співробітників, інженерно-технічних робітників, аспірантів та студентів, що займаються питаннями розробки і використання автоматичних, комп'ютерних і електронних систем.

**Засновник та видавець – Донецький національний технічний університет.**

**Редакційна колегія:** О.А. Мінаєв, чл-кор. НАН України, д-р техн. наук, проф., головний редактор; Є.О. Башков, д-р техн. наук, проф., заступник головного редактора; Є.Б. Ковалев, д-р техн. наук, проф., відп. секретар випуску; Ахім Кінлє д-р техн. наук, проф.; Іван Тауфер д-р техн. наук, проф.; А.А. Зорі, д-р техн. наук, проф.; О.Г. Воронцов, д-р техн. наук, проф.; Ю.О. Скобцов, д-р техн. наук, проф.; Н.І. Чичикало, д-р техн. наук, проф.; М.М. Заблодський, д-р техн. наук, проф.; В.В. Турупалов, канд. техн. наук, проф.; К.М. Маренич, канд. техн. наук, проф.; О.В. Хорхордін, канд. техн. наук, доц.; М.Г. Хламов, канд. техн. наук, доц.; Б.В. Гавриленко, канд. техн. наук, доц.

Свідоцтво про державну реєстрацію друкованого засобу масової інформації: серія КВ № 7376 від 03.06.2003.

Збірник включено до переліку наукових фахових видань України, в яких можуть публікуватися результати дисертаційних робіт на здобуття наукових ступенів доктора і кандидата наук ( затверджено постановою президії ВАК України № 1-05/5 від 01. 07. 2010 р., надруковано в бюллетені ВАК №7, 2010).

Збірник включено до бібліографічної бази даних наукових публікацій Російський індекс наукового цитування (РІНЦ) ([http://elibrary.ru/title\\_about.asp?id=38108](http://elibrary.ru/title_about.asp?id=38108))

## ЗМІСТ

Стор.

<b>Розділ 1 Автоматизація технологічних процесів</b>	5
<b>Борисов А.А.</b> Применение FF-, FB-, MFC-AGC регуляторов в концепции управления приводами клетей прокатного стана по мощности.	6
<b>Воротникова З.Е.</b> Формирование и использование архивной базы данных в системе «советчик оператора доменной печи»	14
<b>Сузdalь В.С., Тавровский И.И., Соболев А.В., Кобылянский Б.Б</b> Система с параметрической инвариантностью для процессов кристаллизации	24
<b>Лапта С.С., Масолова Н.В., Зиновьевна Я.В.</b> Развитие теории моделирования переходного процесса в сложной гомеостатической системе	29
<b>Мироненко Л.П., Петренко И.В., Власенко А.Ю.</b> Интеграл Ньютона-Лейбница и вторая интегральная теорема о среднем	36
<b>Найденова Т.В., Федюн Р.В.</b> Синтез САУ процессом биохимической водоочистки	41
<b>Федюн Р.В.</b> Автоматичне управління занурювальними насосами водовідливу ліквідованих шахт	51
<b>Гарматенко А.М.</b> Алгоритм поиска кратковременной памяти в данных акустической эмиссии угольных пластов	61
<b>Розділ 2 Інформаційні технології та телекомуунікації</b>	69
<b>Воропаєва А.О.</b> Розробка методу керування безпроводовими телекомуунікаційними мережами нового покоління на основі застосування підходу максимізації завантаженості мережі	70
<b>Гостев В.И., Кунах Н.И., Артющик А.С.</b> Аппроксимация звена чистого запаздывания для AQM-систем комплексной передаточной функцией звена Паде	77
<b>Дегтяренко И.В., Лозинская В.Н.</b> Динамические модели средств управления трафиком в сетевом узле	85
<b>Дмитриева О.А.</b> Оптимизация выполнения матрично-векторных операций при параллельном моделировании динамических процессов	94
<b>Євсеєва О.Г.</b> Використання комп'ютерно-орієнтованих засобів проектування і організації навчання математики на засадах діяльнісного підходу в технічному університеті	101
<b>Воропаєва В.Я., Жуковська Д.О.</b> Оцінка впливу алгоритмів обробки черг на показники QOS	111
<b>Воропаєва В.Я., Кабакчей В.И.</b> Выбор методов оценки количества меток в рабочей зоне RFID-ридера для достижения максимальной пропускной способности	119
<b>Канунікова К.П., Червінський В.В.</b> Алгоритм динамічного регулювання споживаної потужності мікростільниками гетерогенної мережі LTE	126
<b>Klymash M.M., Haider Abbas Al-Zayadi, Lavriv O.A.</b> Improving throughput using channel quality indicator in LTE technology	134

<b>Мірошкін О.М.</b> Модифікація системи адресації мікрокоманд у пристрой керування при його реалізації у базисі гібридних FPGA	144
<b>Молоковский И.А.</b> Моделирование процессов распространения радиоволн в подземной части угледобывающего предприятия	152
<b>Пасічник В.В., Назарук М.В.</b> Інформаційно-технологічний супровід системних трансформацій вітчизняної освітньої галузі	160
<b>Батыр С.С., Хорхордин А.В.</b> Особенности оценки эффективности методов управления очередью маршрутизатора	169
<b>Розділ 3 Інформаційно-вимірювальні системи, електронні та мікропроцесорні прилади</b>	177
<b>Вовна А.В., Зори А.А.</b> Оптический измеритель концентрации метана с аппаратно-программной компенсацией температурного дрейфа	178
<b>Жукова Н.В., Литвинов В.И., Голиков В.В.</b> Лабораторный стенд регулируемого линейного асинхронного электропривода – аналога электропривода постоянного тока	189
<b>Кузнецов Д.Н., Чупис Д.А.</b> Исследование физической модели ступенчатого испытательного воздействия для определения динамических характеристик термопреобразователей	202
<b>Куценко В.П.</b> Математичне моделювання властивостей діелектричних матеріалів при використанні мікрохвильових експертних систем	210
<b>Лыков А.Г., Косарев Н.П.</b> Исследование влияния ширины спектра излучения источника на чувствительность измерительных каналов газоанализаторов выхлопных газов автомобильного транспорта	218
<b>Штепа А.А.</b> Обоснование концепции структурно алгоритмической организации модульной компьютеризированной информационно-измерительной системы электрофизиологических сигналов	226

## **Розділ 2**

### **Інформаційні технології та телекомунікації**

УДК 004.715

**В.И. Гостев (д-р техн. наук, проф.),  
Н.И. Кунах (д-р техн. наук, проф.), А.С. Артющик (аспирант)**  
Государственный университет телекоммуникаций, г. Киев  
кафедра коммутационных систем  
e-mail:ignaku@ukr.net

## АППРОКСИМАЦІЯ ЗВЕНА ЧИСТОГО ЗАПАЗДЫВАННЯ ДЛЯ AQM-СИСТЕМ КОМПЛЕКСНОЙ ПЕРЕДАТОЧНОЙ ФУНКЦІЕЙ ЗВЕНА ПАДЕ

*В работе исследованы комплексные передаточные функции звена Паде 1,2, 3 и 4-го порядка, которые аппроксимирует звено чистого запаздывания в системах активного управления очередью пакетов сетей TCP/IP. Функции, аппроксимирующие звено чистого запаздывания, достаточно простые и позволяют исследовать систему с высокой точностью.*

**Ключевые слова:** система активного управления очередью, передаточная функция, маршрутизатор, звено Паде.

### **Общая постановка проблемы**

В последние годы непредсказуемый рост Интернета все более и более указывает на проблему борьбы с перегрузками. Явление перегрузок сети происходит, когда количество данных, введенных в сеть, больше чем количество данных, которые доставляются по назначению. При пакетной передаче источники данных должны уменьшать скорость передачи при наличии потери пакетов. Такой подход борьбы с перегрузками принят протоколом TCP (Transmission Control Protocol).

Для решения проблем уменьшения высокой задержки из-за полных очередей служит стратегия Активное Управление Очередью – Active Queue Management (AQM). При AQM уведомления о перегрузке производятся отбрасыванием (или маркировкой) поступающих пакетов прежде, чем очереди маршрутизаторов станут полными. Другими словами, AQM-системы используют принцип обратной связи: оконечные хосты реагируют на отбрасывание/маркировку пакетов в очередях маршрутизатора, уменьшая их скорость передачи. Длина очереди в маршрутизаторах уменьшается и непрерывная задержка, испытываемая пакетами, также уменьшается. В AQM-системе всегда имеется запаздывание, которое отображается на структурной схеме звеном чистого запаздывания. Для анализа AQM-системы весьма удобно это звено аппроксимировать звеном Паде. Во многих работах (см. например [1-4]) системы активного управления очередью пакетов (AQM-системы) в сетях TCP/IP исследуются как системы автоматического управления с обратной связью.

### **Решение задачи**

Динамическая модель поведения (режима работы) TCP получена путем использования протекающих потоков информации и анализа стохастических дифференциальных уравнений в работах [1-3]. Результаты моделирования показывают, что эта модель точно охватывает динамику TCP. Используя упрощенную модель TCP, динамику AQM-системы можно описать следующими алгебраическими уравнениями:

$$(s + \frac{2N}{R_o^2 C})\delta W(s) = -\frac{R_o C^2}{2N^2} e^{-sR_o} \delta p(s), \quad (s + \frac{1}{R_o})\delta q(s) = \frac{N}{R_o} \delta W(s), \quad (1)$$

где  $\delta W$  - переменная составляющая предполагаемого размера окна TCP (пак.),  $R_o = q/C + T_p$  - время следования туда и обратно – round trip time RTT (с),  $C$  - емкость связи (пак/с),  $T_p$  - задержка распространения (с),  $\delta q$  - переменная составляющая предполагаемой длины

очереди (пак),  $N$  - коэффициент нагрузки (число TCP сессий),  $\delta p$  - переменная составляющая вероятности маркировки/отбрасывания пакетов. Блок схема линеаризованной AQM-системы управления показана на рис.1.

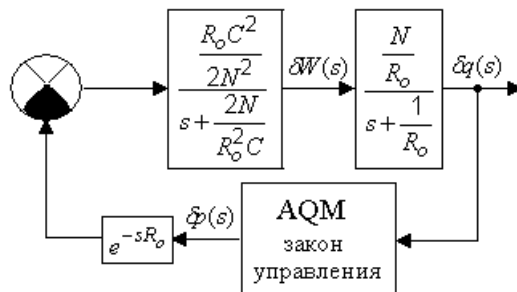


Рисунок 1 – Блок схема линеаризованной AQM-системы управления

Передаточную функцию объекта управления AQM-системы, используя выражение (1), записывают в виде

$$G(s) = \frac{\frac{C^2}{2N}}{(s + \frac{2N}{R_o^2 C})(s + \frac{1}{R_o})} e^{-sR_o} = \frac{\frac{(R_o C)^3}{(2N)^2}}{(\frac{R_o^2 C}{2N} s + 1)(R_o s + 1)} e^{-sR_o} G(s) = P(s) e^{-sR_o}. \quad (2)$$

Как показывает практика эксплуатации линий связи,  $R_o$  находится в пределах от 0,25 до 1 секунды, а существенные частоты для AQM-систем находятся в диапазоне от 0 до 10 Гц. Таблица 1 в диапазоне частот от 0,01 до 10 радиан/с и значениях  $R_o$ , равных 0,25, 0,5, 0,75 и 1 с дает значения сдвига фаз звеном  $e^{-sR_o}$ . Значение  $R_o=0,246$  с использовано в работах [1-3].

Таблица 1

Значение сдвига фаз звеном  $e^{-sR_o}$

$\omega$ , рад/с.	$\phi(\omega) = -(R_o \omega) \times 57.3$ , град., $-180^\circ < \phi < 0^\circ$				
	$R_o=0.246$	$R_o=0.25$	$R_o=0.5$	$R_o=0.75$	$R_o=1$
0.01	- 0.14	- 0.14	- 0.287	- 0.430	- 0.573
0.02	- 0.28	- 0.287	- 0.573	- 0.8595	- 1,146
0.03	- 0.423	- 0.429	- 0.860	- 1.289	- 1,719
0.04	- 0.56	- 0.573	- 1.146	- 1.719	- 2,292
0.06	- 0.85	- 0.859	- 1.719	- 2.579	- 3,438
0.08	- 1.135	- 1.146	- 2.292	- 3.438	- 4,584
0.1	- 1.41	- 1.432	- 2.865	- 4.29	- 5,73
0.2	- 2.82	- 2.87	- 5.73	- 8.59	- 11,46
0.3	- 4.23	- 4.29	- 8.60	- 12.89	- 17,19
0.4	- 5.64	- 5.73	- 11.46	- 17.19	- 22,92
0.6	- 8.46	- 8.59	- 17.19	- 25.79	- 34,38
0.8	- 11.28	- 11.46	- 22.92	- 34.38	- 45,84
1	- 14.1	- 14.32	- 28.65	- 42.9	- 57,3
2	- 28.2	- 28.7	- 57.3	- 85.9	- 114,6
3	- 42.3	- 42.9	- 86.0	- 128.9	- 171,9
4	- 56.4	- 57.3	- 114.6	- 171.9	
6	- 84.6	- 85.9	- 171.9		
8	- 112.8	- 114.6			
10	- 141	- 143.2			

Аппроксимируем звено чистого запаздывания с передаточной функцией  $e^{-sR_o}$  звеном Паде k-го порядка. Обозначим передаточную функцию звена Паде любого порядка как  $K_{pade_k}(s)$ . Тогда можно записать для звена чистого запаздывания:

- приближение Паде первого порядка

$$e^{-sR_o} \approx K_{pade1}(s) = \left(1 - \frac{R_o}{2}s\right) / \left(1 + \frac{R_o}{2}s\right), \quad (3)$$

- приближение Паде второго порядка

$$e^{-sR_o} \approx K_{pade2}(s) = \left(1 - \frac{R_o}{2}s + \frac{R_o^2}{12}s^2\right) / \left(1 + \frac{R_o}{2}s + \frac{R_o^2}{12}s^2\right), \quad (4)$$

- приближение Паде третьего порядка

$$e^{-sR_o} \approx K_{pade3}(s) = \frac{\frac{1}{2} - \frac{R_o}{10}s + \frac{R_o^2}{120}s^2 - \frac{R_o^3}{120}s^3}{\frac{1}{2} + \frac{R_o}{10}s + \frac{R_o^2}{120}s^2 + \frac{R_o^3}{120}s^3}, \quad (5)$$

- приближение Паде четвертого порядка

$$e^{-sR_o} \approx K_{pade4}(s) = \frac{\frac{1}{2} - \frac{R_o}{28}s + \frac{3R_o^2}{84}s^2 + \frac{R_o^3}{1680}s^3 - \frac{R_o^4}{1680}s^4}{\frac{1}{2} + \frac{R_o}{28}s + \frac{3R_o^2}{84}s^2 + \frac{R_o^3}{84}s^3 + \frac{R_o^4}{1680}s^4}. \quad (6)$$

Чтобы определить передаточную функцию звена Паде порядка N, т.е.  $K_{pade_n}(s)$ , можно использовать программу MATLAB:

```
Rdelay=1; N=;
[humpade,denpade]=pade(Rdelay,N);
tfpade=tf(humpade,denpade).
```

Например, для N=2 эта программа MATLAB дает следующий результат:

*Transfer function:*

$$s^2 - 6s + 12$$

-----

$$s^2 + 6s + 12.$$

Теперь числитель и знаменатель полученной передаточной функции надо разделить на свободный член 12 и произвести замену переменной s на  $R_o s$ . В результате получим

$$K_{pade2}(s) = \frac{\frac{R_o^2}{12}s^2 - \frac{R_o}{2}s + 1}{\frac{R_o^2}{12}s^2 + \frac{R_o}{2}s + 1}.$$

Для N=3 эта программа MATLAB дает следующий результат:

*Transfer function:*

$$-s^3 + 12s^2 - 60s + 120$$

-----

$$s^3 + 12s^2 + 60s + 120$$

Числитель и знаменатель полученной передаточной функции делим на свободный член 120 и производим замену переменной s на  $R_o s$ . В результате получим

$$K_{pade3}(s) = \frac{-\frac{R_o^3}{120}s^3 + \frac{R_o^2}{10}s^2 - \frac{R_o}{2}s + 1}{\frac{R_o^3}{120}s^3 + \frac{R_o^2}{10}s^2 + \frac{R_o}{2}s + 1}.$$

Для N=4 эта программа MATLAB дает следующий результат:

$$\begin{aligned} & \text{Transfer function:} \\ & -s^4 - 20s^3 + 180s^2 - 840s + 1680 \\ & \hline \\ & s^4 - 20s^3 + 180s^2 + 840s + 1680 \end{aligned}$$

Числитель и знаменатель полученной передаточной функции делим на свободный член 1680 и производим замену переменной  $s$  на  $R_o s$ . В результате получим

$$K_{pade4}(s) = \frac{-\frac{R_o^2}{1680}s^4 + \frac{R_o^3}{84}s^3 + \frac{3R_o^2}{28}s^2 - \frac{R_o}{2}s + 1}{\frac{R_o^2}{1680}s^4 + \frac{R_o^3}{84}s^3 + \frac{3R_o^2}{28}s^2 + \frac{R_o}{2}s + 1}.$$

На основании полученных формул запишем комплексные передаточные функции звена Паде 1,2,3 и 4 порядков с учетом того, что  $j^2 = -1$ ;  $j^3 = -j$ ;  $j^4 = 1$  для приближения Паде первого порядка

$$K_{pade1}(j\omega) = (1 - \frac{R_o}{2}j\omega) / (1 + \frac{R_o}{2}j\omega), \quad (7)$$

для приближение Паде второго порядка

$$K_{pade2}(j\omega) = (1 - \frac{R_o^2}{2}\omega^2 - \frac{R_o}{2}j\omega) / (1 - \frac{R_o^2}{2}\omega^2 + \frac{R_o}{2}j\omega), \quad (8)$$

для приближение Паде третьего порядка

$$K_{pade3}(j\omega) = \frac{1 - \frac{R_o^2}{10}\omega^2 - j(\frac{R_o}{2}\omega + \frac{R_o^3}{120}\omega^3)}{1 - \frac{R_o^2}{10}\omega^2 + j(\frac{R_o}{2}\omega - \frac{R_o^3}{120}\omega^3)}, \quad (9)$$

для приближение Паде четвертого порядка

$$K_{pade4}(j\omega) = \frac{1 - \frac{3R_o^2}{28}\omega^2 - \frac{R_o^4}{1680}s^4 - j(\frac{R_o}{2}\omega + \frac{R_o^3}{84}\omega^3)}{1 - \frac{3R_o^2}{28}\omega^2 + \frac{R_o^4}{1680}\omega^4 + j(\frac{R_o}{2}\omega - \frac{R_o^3}{84}\omega^3)}. \quad (10)$$

Аргумент комплексной передаточной функции звена Паде 1,2,3 и 4 порядков, т.е. частотная характеристика звена Паде 1,2,3 и 4 порядка определяется для приближения Паде первого порядка

$$\varphi(\omega) = 57,3 \times (\arctg(-\frac{R_o}{2}) - \arctg(\frac{R_o}{2})), \text{ градусов.} \quad (11)$$

Для звена Паде второго порядка частотная характеристика определяется как

$$\varphi(\omega) = 57,3 \times (\arctg(-\frac{\frac{R_o}{2}\omega}{1 - \frac{R_o^2}{12}\omega^2}) - \arctg(\frac{\frac{R_o}{2}\omega}{1 - \frac{R_o^2}{12}\omega^2})). \quad (12)$$

Для звена Паде третього порядка частотная характеристика определяется как

$$\varphi(\omega) = 57,3 \left( \operatorname{arctg} \frac{\frac{R_0}{2} \omega + \frac{R_0^3}{120} \omega^3}{1 - \frac{R_0^2}{10} \omega^2} - \operatorname{arctg} \frac{\frac{R_0}{2} \omega + \frac{R_0^3}{120} \omega^3}{1 - \frac{R_0^2}{10} \omega^2} \right). \quad (13)$$

Для звена Паде четвертого порядка частотная характеристика определяется как:

$$\varphi(\omega) = 57,3 \left( \operatorname{arctg} \frac{\frac{R_0}{2} \omega + \frac{R_0^3}{84} \omega^3}{1 - \frac{3R_0^2}{28} \omega^2 - \frac{R_0^4}{1680} \omega^4} - \operatorname{arctg} \frac{\frac{R_0}{2} \omega - \frac{R_0^3}{84} \omega^3}{1 - \frac{3R_0^2}{28} \omega^2 + \frac{R_0^4}{1680} \omega^4} \right). \quad (14)$$

Следует отметить, что звено Паде любого порядка преобразует минимально фазовую AQM-систему в неминимально-фазовую.

Значения рассчитанной частотной характеристики звена Паде второго порядка и особенно четвертого порядка для  $R_0=0,246$  с практически мало отличаются от приведенных в таблице 1. Это показывает, что приближения Паде второго порядка (или звенья Паде второго порядка) и особенно четвертого порядка достаточно точно аппроксимируют звено чистого запаздывания. Как показывают расчеты, уже частотная характеристика звена Паде второго порядка в диапазоне частот от нуля до 10 рад/с (в диапазоне, который является существенным для AQM-систем), с достаточной точностью (в диапазоне от нуля до 1 рад/с с точностью менее одного процента, от 1 до 10 рад/с с точностью 1-4 процента) совпадает с частотной характеристикой звена чистого запаздывания.

Таблица значений рассчитанной частотной характеристики звена Паде второго порядка и четвертого порядка для  $R_0=0,246$  с приведена ниже:

Таблица 2

Значение сдвига фаз звеном Паде для  $R_o = 0,246$  с

$\omega$ рад./с	$\varphi(\omega)$ градусов. звено Паде второго порядка	$\varphi(\omega)$ градусов. звено Паде четвертого порядка
0.01	- 0.141	- 0.141
0.02	- 0.282	- 0.282
0.03	- 0.423	- 0.423
0.04	- 0.564	- 0.564
0.06	- 0.846	- 0.846
0.08	- 1.128	- 1.128
0.1	- 1.410	- 1.410
0.2	- 2.819	- 2.819
0.3	- 4.229	- 4.229
0.4	- 5.638	- 5.639
0.6	- 8.458	- 8.462
0.8	- 11.277	- 11.287
1	- 14.096	- 14.116
2	- 28.189	- 28.349
3	- 42.271	- 42.800
4	- 56.314	- 57.528
6	- 84.088	- 87.757
8	- 110.932	- 118.194
10	- 136.110	- 147.294

Использование передаточной функции звена Паде второго порядка вместо передаточной функции звена чистого запаздывания позволяет весьма просто определять логарифмические амплитудные и фазо-частотные характеристики AQM-систем, используя пакет Control System Toolbox 5.0 интерактивной системы MATLAB, что значительно облегчает анализ AQM-систем

На рис.2 приведены фазо-частотные характеристики звена Паде: а) первого порядка, б) второго порядка и в) третьего порядка и г) четвертого порядка, полученные в системе MATLAB.

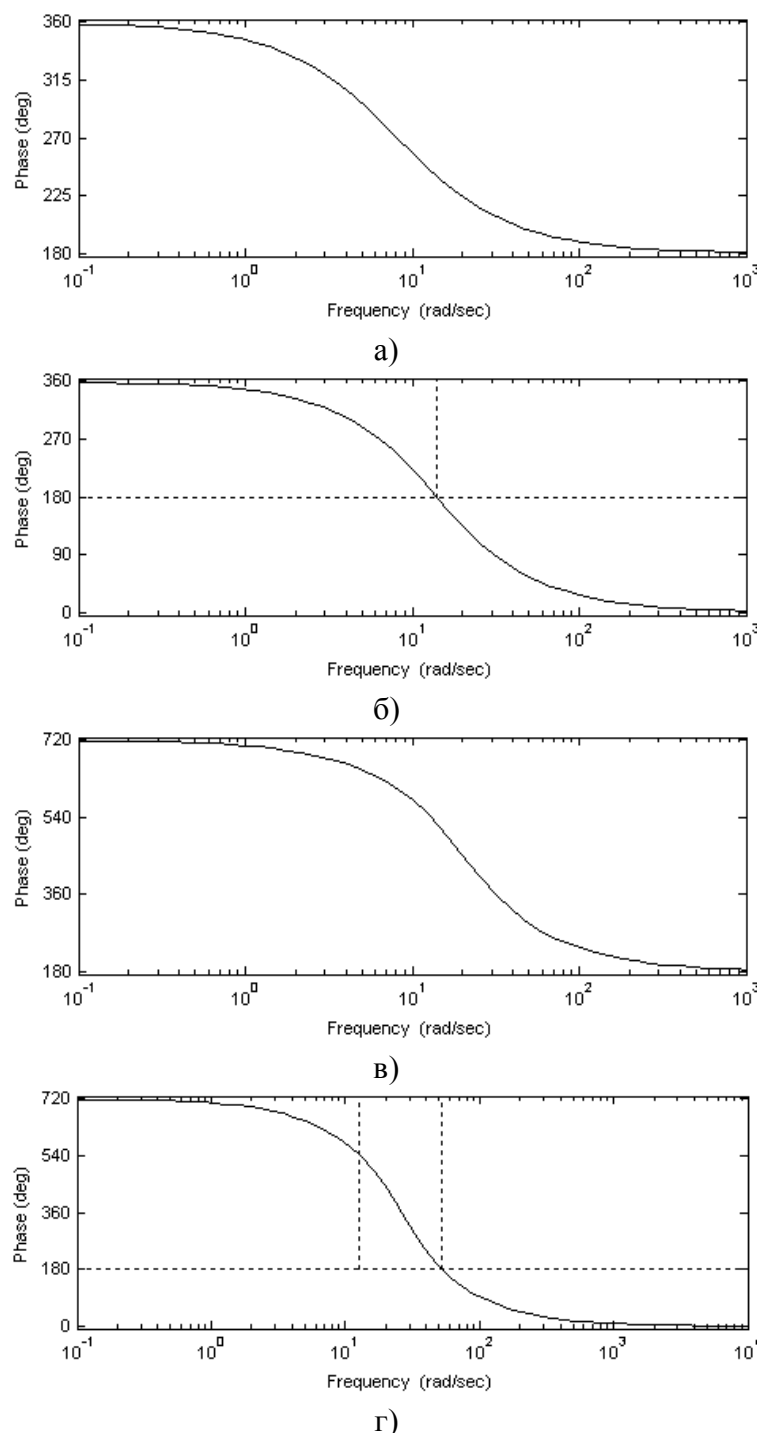


Рисунок 2 – Фазо-частотные характеристики звена Паде: а) первого порядка, б) второго порядка, в) третьего порядка и г) четвертого порядка

## Выводы

На основании данной работы можно заключить, что при исследовании AQM-систем наиболее целесообразной заменой передаточной функции звена чистого запаздывания является передаточная функция звена Паде второго порядка с точки зрения получения достаточной точности результатов и упрощения анализа характеристик систем.

## Список использованной литературы

1. Hollot C.V., Misra V., Towsley D., Gong W.B. "A Control Theoretic Analysis of RED," in Proceedings of IEEE/INFOCOM, April, 2001, pp. 1510-1519.
2. Hollot C.V., Misra V., Towsley D., Gong W.B. "Analysis and design of controllers for AQM routers supporting TCP flows". IEEE/ACM Transactions on Automatic Control, vol. 47, no.6, pp. 945-959, June 2002.
3. Hollot C.V., Misra V., Towsley D., Gong W.B., "On Designing Improved Controllers for Routers Supporting TCP Flows", in Proceedings of IEEE INFOCOM'2001, April 2001, 1726-1734.
4. Гостев В.И. Фаззи–системы активного управления очередью в сетях TCP/IP: монография / В.И. Гостев, С.Н. Скуртов. – Нежин: ООО “Видавництво “Аспект-Поліграф”, 2011. – 464 с.
5. Дорф Р. Современные системы управления / Р. Дорф, Р. Бишоп; пер. с англ. - М.: Лаборатория Базовых Знаний, 2002. - 832 с.

## References

1. Hollot, C.V., Misra, V., Towsley, D. and Gong, W.B. (2001), "A Control Theoretic Analysis of RED," in *Proceedings of IEEE/INFOCOM*, April, 2001, pp. 1510-1519.
2. Hollot, C.V., Misra, V., Towsley, D. and Gong, W.B. (2002) "Analysis and design of controllers for AQM routers supporting TCP flows". *IEEE/ACM Transactions on Automatic Control*, vol. 47, no.6, pp. 945-959, June 2002.
3. Hollot, C.V., Misra, V., Towsley, D. and Gong, W.B. (2001), "On Designing Improved Controllers for Routers Supporting TCP Flows", in *Proceedings of IEEE INFOCOM'2001*, April 2001, 1726-1734.
4. Gostev, V.I. and Skurtov, S.N. (2011), *Fuzzy-system active management a turn in the networks of TCP/IP*, "Aspekt-Poligraf", Nejin, Ukraine.
5. Dorf, R. and Bishop, R. (2002) *Modern control system*, Translate. with English, Laboratory of Base Knowledges, Moscow, Russia.

Надійшла до редакції:

24.04.2014

Рецензент:

канд. техн. наук, проф. Турупалов В.В.

**В.І.Гостєв, Н.І.Кунах, А.С.Артющик**

**Державний університет телекомунікацій**

**Апроксимація ланки чистого запізнювання для AQM-систем комплексною передавальною функцією ланки Паде. В роботі досліджено комплексні передавальні функції ланки Паде 1 ,2, 3 та 4-го порядку, які апроксимують ланку чистого запізнювання в системах активного управління чергою пакетів в мережах TCP/IP. Функції, які апроксимують ланку чистого запізнювання, достатньо прості та дозволяють досліджувати систему з високою точністю.**

**Ключові слова:** система активного управління чергою, передавальна функція, маршрутизатор, ланка Паде.

**V.I.Gostev, N.I.Kunakh, A.S.Artyuschik**

**State University of Telecommunications**

**Approximation of a pure delay link for AQM-systems by the complex transmission function of the link of Pade.** In the work a complex transfer function of Pade link of 1, 2, 3 and 4th order which approximates a link of pure delay in the systems of active queue management(AQM) of packages of networks TCP/IP is investigated. Functions which approximate the link of pure delay are simple enough and allow to probe the system with high exactness.

**Keywords:** system of active management of a queue, transmission function, router, link of Pade.



**Гостев Владимир Иванович**, Украина, закончил Киевское высшее радиотехническое училище ПВО, докт. техн. наук, профессор, заведующий кафедрой коммутационных систем Государственного университета телекоммуникаций (ул. Соломенская, 7, г. Киев, 03110, Украина). Основное направление научной деятельности -системы автоматического управления с нечеткими регуляторами, в том числе системы активного управления очередью в сетях TCP/IP.



**Кунах Наталия Игоревна**, Украина, закончила Одесский электротехнический институт связи им. А.С.Попова, докт. техн. наук, профессор, профессор кафедры коммутационных систем Государственного университета телекоммуникаций (ул. Соломенская, 7, г. Киев, 03110, Украина). Основное направление научной деятельности – радиотехнические устройства и средства телекоммуникаций.



**Артюшик Александр Сергеевич**, Украина, закончил Киевское высшее инженерное радиотехническое училище ПВО имени маршала авиации Покрышкина А.И., аспирант кафедры коммутационных систем Государственного университета телекоммуникаций (ул. Соломенская, 7, г. Киев, 03110, Украина). Основное направление научной деятельности - системы активного управления очередью в сетях TCP/IP.